

RED DE CONTROL SÍSMICO DE LA CUENCA DEL RÍO ARAGÓN

Parte de actividad quincenal: 16 al 30 de junio de 2008

ZONA DEL EMBALSE DE ITOIZ
(PARALELOS 42.7N-43.0N, MERIDIANOS 1.6W-1.1W)

RED SÍSMICA

Desde el parte anterior, no se ha producido ninguna variación en la configuración actual de la red sísmica (Figura 1).

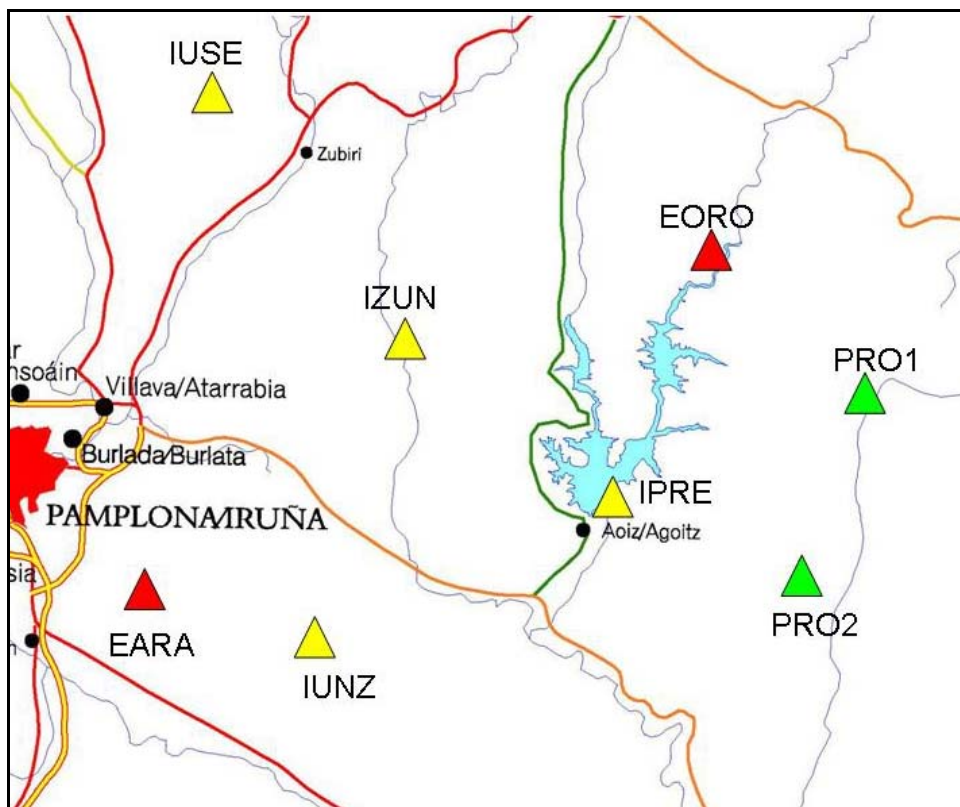


Figura 1.- Estaciones sísmicas próximas a la Presa de Itoiz. En amarillo figuran las estaciones instaladas por la Confederación Hidrográfica del Ebro. El resto han sido instaladas por el Instituto Geográfico Nacional. Las estaciones PRO1 y PRO2 disponen de instrumentación portátil, aunque se ha iniciado la instalación definitiva.

El nivel de operatividad del conjunto de la red ha sido del 83 % según se muestra en la Figura 2.

	16	17	18	19	20	21	22	23	24	25	26	27	28	29	30
EARA	Operativo	Operativo	Operativo	Operativo	Operativo	Operativo	Operativo	Operativo	Operativo	Operativo	Operativo	Operativo	Operativo	Operativo	Operativo
IUSE	Operativo	Operativo	Operativo	Operativo	Operativo	Operativo	Operativo	Interrumpido	Interrumpido	Interrumpido	Operativo	Operativo	Operativo	Operativo	Operativo
IZUN	Operativo	Operativo	Operativo	Operativo	Operativo	Operativo	Operativo	Interrumpido	Interrumpido	Interrumpido	Operativo	Operativo	Operativo	Operativo	Operativo
IUNZ	Operativo	Operativo	Operativo	Operativo	Operativo	Operativo	Operativo	Interrumpido	Interrumpido	Interrumpido	Operativo	Operativo	Operativo	Operativo	Operativo
IPRE	Operativo	Operativo	Operativo	Operativo	Operativo	Operativo	Operativo	Interrumpido	Interrumpido	Interrumpido	Operativo	Operativo	Operativo	Operativo	Operativo
EORO	Operativo	Operativo	Operativo	Operativo	Operativo	Operativo	Operativo	Interrumpido	Interrumpido	Interrumpido	Operativo	Operativo	Operativo	Operativo	Operativo

Figura 2.- Operatividad de las estaciones. Se señala en color rojo el periodo de tiempo en el que se interrumpe la secuencia de datos, por problemas en la instrumentación o en la transmisión.

Se ha terminado la obra civil necesaria para la instalación definitiva de las estaciones PRO1 y PRO2. En las Figuras 3 y 4 se muestran estos emplazamientos en los que se ha instalado un armario para la instrumentación junto a la torre para las comunicaciones, quedando únicamente pendiente la instalación de la instrumentación sísmica. En las Figuras 5 y 6 se ven los pozos para la instalación de los sensores.



Figura 3.- Obra civil de la estación sísmica PRO1: torre de comunicaciones, armario de la instrumentación y pozo para el sensor.



Figura 4.- Obra civil de la estación sísmica PRO2: torre de comunicaciones, armario de la instrumentación y pozos para los sensores.



Figura 5.- Pozo para la instalación del sensor de corto periodo en la estación PRO1.



Figura 6.- Pozos para la instalación del sensor de banda y del acelerómetro en la estación PRO2.

ACTIVIDAD SÍSMICA DEL PERIODO QUINCENAL 16 AL 30 DE JUNIO DE 2008

En este periodo se han localizado en la zona próxima al embalse 39 terremotos entre las magnitudes de 0,3 y 2,5:

<u>Fecha</u>	<u>Hora (TU)</u>	<u>Lat.</u>	<u>Lon.</u>	<u>Mag</u>	<u>Localización</u>
17-jun	00:49:14	42.81	-1.33	0.3	NE AOIZ/AGOITZ.NA
17-jun	02:00:43	42.84	-1.42	1.5	W NAGORE.NA
17-jun	05:56:38	42.94	-1.22	1.0	SE V. DE AEZKOA.NA
18-jun	11:39:16	42.74	-1.23	1.1	SE SANTA FE.NA
19-jun	03:27:54	42.82	-1.43	1.7	NE LIZOÁIN.NA
19-jun	03:35:04	42.82	-1.43	1.0	NE LIZOÁIN.NA
19-jun	05:27:26	42.83	-1.38	0.5	SW NAGORE.NA
20-jun	17:57:49	42.82	-1.42	1.2	NE LIZOÁIN.NA
20-jun	19:12:23	42.85	-1.46	0.7	N LIZOÁIN.NA
21-jun	13:27:43	42.85	-1.10	1.7	NW E. DE SALAZAR.NA
22-jun	01:21:06	42.81	-1.38	0.5	NW AOIZ/AGOITZ.NA
22-jun	07:47:55	42.85	-1.14	2.5	W E. DE SALAZAR.NA
22-jun	10:30:40	42.84	-1.15	1.9	W E. DE SALAZAR.NA

Fecha	Hora (TU)	Lat.	Lon.	Mag	Localización
22-jun	11:09:53	42.82	-1.37	1.0	S NAGORE.NA
22-jun	23:17:22	42.82	-1.42	1.5	NE LIZOÁIN.NA
23-jun	04:52:15	42.82	-1.36	0.5	SE NAGORE.NA
23-jun	07:09:04	42.82	-1.43	1.8	NE LIZOÁIN.NA
23-jun	12:24:11	42.81	-1.38	0.9	NW AOIZ/AGOITZ.NA
23-jun	14:43:10	42.85	-1.16	1.1	SW JAURRIETA.NA
24-jun	04:24:56	42.90	-1.15	1.4	NW JAURRIETA.NA
24-jun	07:01:22	42.91	-1.12	1.7	N JAURRIETA.NA
24-jun	14:17:04	42.82	-1.40	1.0	SW NAGORE.NA
25-jun	04:10:32	42.78	-1.28	0.5	NW SANTA FE.NA
25-jun	04:47:55	42.88	-1.50	0.8	S ZUBIRI.NA
25-jun	09:19:06	42.84	-1.47	1.1	NW LIZOÁIN.NA
26-jun	13:13:35	42.82	-1.35	1.0	SE NAGORE.NA
26-jun	15:12:43	42.83	-1.42	1.2	SW NAGORE.NA
26-jun	18:01:59	42.82	-1.43	1.1	NE LIZOÁIN.NA
27-jun	06:20:24	42.82	-1.43	0.9	NE LIZOÁIN.NA
27-jun	08:51:18	42.80	-1.37	0.9	NW AOIZ/AGOITZ.NA
27-jun	19:43:07	42.84	-1.43	1.3	W NAGORE.NA
27-jun	19:59:04	42.84	-1.15	2.0	W E. DE SALAZAR.NA
28-jun	17:38:29	42.80	-1.39	0.9	NW AOIZ/AGOITZ.NA
28-jun	22:20:33	42.87	-1.50	0.6	S ZUBIRI.NA
28-jun	22:20:48	42.86	-1.46	0.9	N LIZOÁIN.NA
29-jun	03:24:28	42.83	-1.34	0.5	SE NAGORE.NA
29-jun	04:27:29	42.89	-1.49	1.0	S ZUBIRI.NA
29-jun	15:57:18	42.78	-1.33	0.7	E AOIZ/AGOITZ.NA
29-jun	19:42:56	42.83	-1.41	0.9	SW NAGORE.NA

En la Figura 7 se muestra su distribución epicentral.

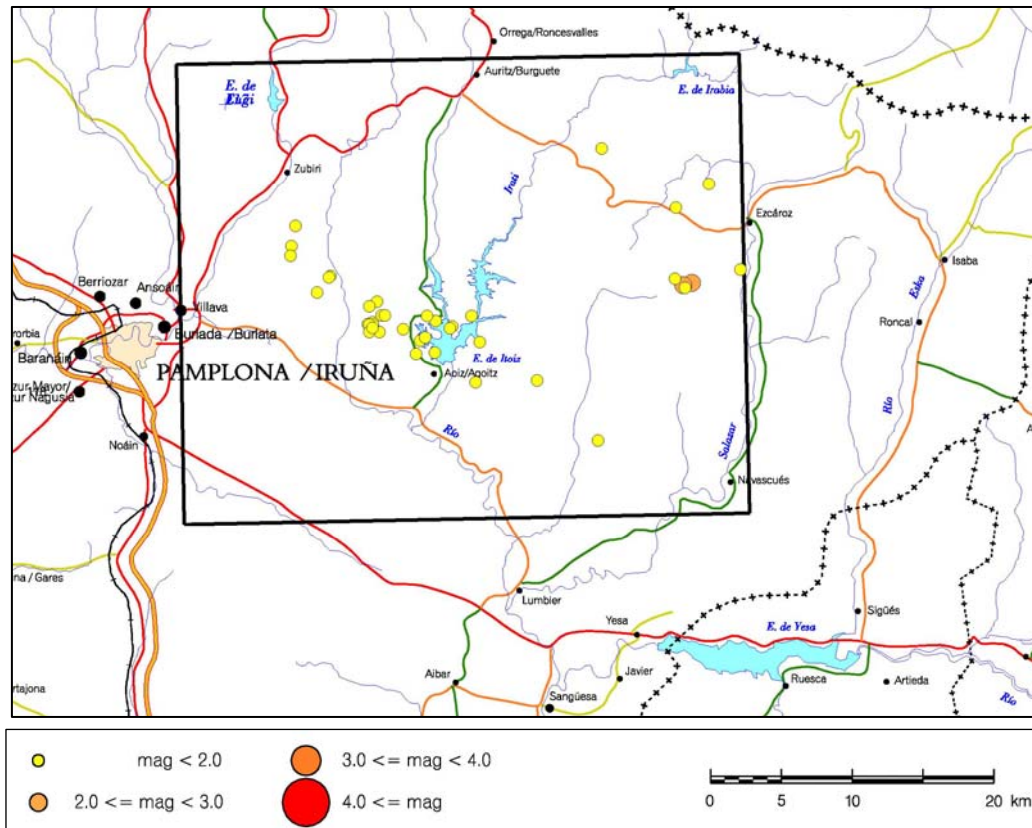


Figura 7.- Terremotos localizados en el periodo del 16 al 30 de junio de 2008 en la zona limitada por los paralelos 42,7N-43,0N y los meridianos 1,6W-1,1W.

En la Figura 8 se muestra la distribución temporal de estos terremotos.

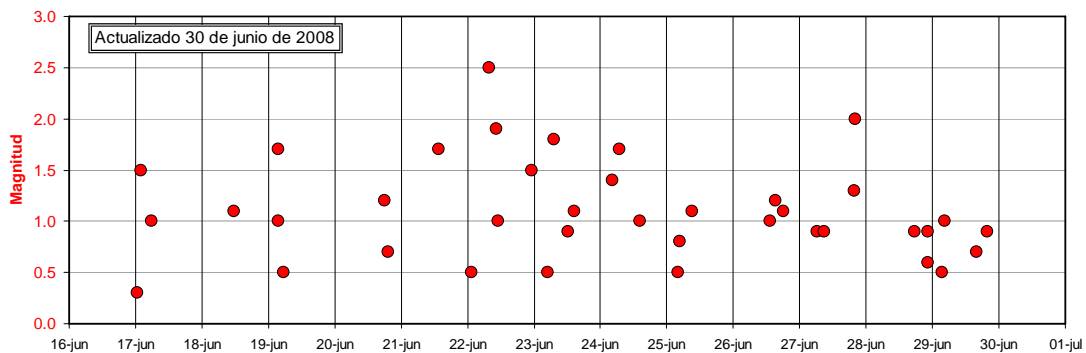


Figura 8.- Distribución temporal de los terremotos localizados en el periodo del 16 al 30 de junio de 2008 en la zona limitada por los paralelos 42,7N-43,0N y los meridianos 1,6W-1,1W.

En la Figura 9 se muestran sendos gráficos actualizados de la distribución temporal de la actividad sísmica junto con la curva de llenado del embalse.

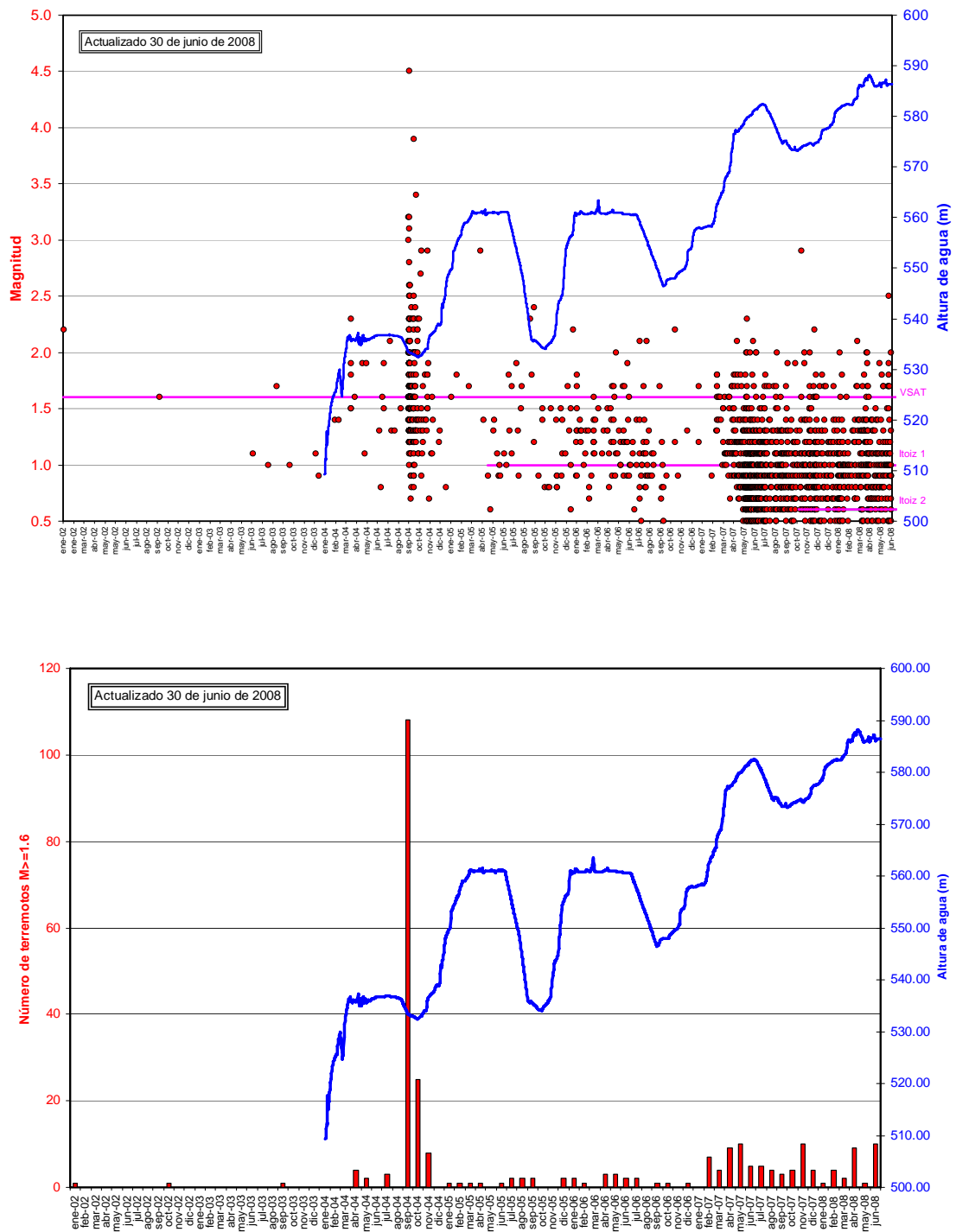


Figura 9.- Distribución temporal de los terremotos localizados en el periodo desde el 1 de enero de 2002 al 30 de junio de 2008 en la zona limitada por los paralelos 42,7N-43,0N y los meridianos 1,6W-1,1W, junto con la curva de llenado..